

## СПУТНИКОВЫЕ СИСТЕМЫ КАК АНИМАЦИОННО-ГЕОМЕТРИЧЕСКИЕ МОДЕЛИ ПОЛИНОМОВ

Сергей Ларин

Красноярский государственный педагогический университет  
им. В. П. Астафьева (Россия)

**Аннотация.** В статье дано новое анимационно-геометрическое представление полиномов на комплексной плоскости при условии, что модуль комплексной переменной равен 1, в виде спутниковых систем. Аналогичное представление в виде пространственных спутниковых систем дано для полиномов от комплексной переменной  $z$ ,  $|z|=1$ , коэффициенты которых являются векторными кватернионами (их скалярная часть равна нулю). Представлена эффективность и целесообразность использования анимационных рисунков как средства визуализации математических знаний в современной дидактике обучения математике.

**Ключевые слова:** анимационные рисунки; GeoGebra; спутниковая система; комплексные числа; кватернионы; многочлены

### Введение

Материал статьи имеет два аспекта: чисто математический и методический. С математической точки зрения представлен новый анимационно-геометрический взгляд на многочлены от комплексной переменной  $z$  при условии  $|z|=1$  как на спутниковые системы на плоскости и в пространстве. Этот материал в школе и в педагогическом вузе можно использовать как основу для организации учебно-исследовательской деятельности, расширяющей и углубляющей обязательные знания по комплексным числам. С методической точки зрения в статье демонстрируется роль и значение анимационных рисунков, выполненных в компьютерной среде GeoGebra. Они не только позволяют визуализировать математические понятия, но и делать математические утверждения очевидными в буквальном смысле этого слова (их «очи видят»). Кроме того, они приобщают обучаемого к технологиям для будущего, формируя личность, которая призвана раскрыть свой творческий потенциал в условиях цифровой экономики. Анимационные рисунки позволяют экспериментировать, поддерживая исследовательский стиль обучения математике, и представляют собой элементы цифровизации образования.

Выбор программы GeoGebra обусловлен тем, что она свободно распространяется, содержит достаточно широкий инструментарий и проста в освоении. Интернет-ресурс [Geogebra.org<sup>1\)</sup>](http://Geogebra.org) содержит большой объем демонстрационного учебно-исследовательского материала, который непрерывно пополняется. С работами автора в этом направлении можно познакомиться по публикациям, перечисленным в списке литературы.

### 1. Спутниковая система порядка $n$ и ее определяющий многочлен

Представим следующую картину. На координатной плоскости начало координат назовем звездой. Вокруг звезды по круговым орбитам вращаются точки – спутники звезды. Вокруг некоторых из них по круговым орбитам вращаются точки – спутники спутников, и так далее. Как алгебраически описать такую спутниковую систему? Прежде, чем перейти к решению этой задачи, дадим конструктивное определение спутниковой системы порядка  $n$ , а для этого предварительно введем вспомогательное понятие.

Определение 1. *Набором числовых параметров спутниковой системы порядка  $n$  назовем запись вида  $S((r_1, p_1, k_1), \dots, (r_n, p_n, k_n))$ , где  $r_1, \dots, r_n$  – положительные действительные числа, называемые радиусами орбит спутников системы,  $p_1, \dots, p_n$  – целые неотрицательные числа, называемые показателями вращения спутников,  $k_1, \dots, k_n$  – комплексные числа, модуль которых равен 1, которые будем называть угловыми коэффициентами спутников.*

Сформулируем конструктивное определение спутниковой системы порядка  $n$ , описывая ее построение. Анимационный рисунок 1 демонстрирует это построение для  $n = 3$ .

Определение 2. *Спутниковой системой порядка  $n$ , заданной набором числовых параметров  $S((r_1, p_1, k_1), \dots, (r_n, p_n, k_n))$ , называется последовательность точек  $O_0, O_1, \dots, O_n$ , которая строится следующим образом.*

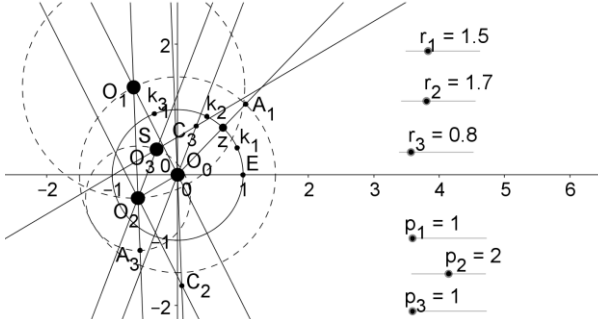
1. *Построение исходных данных.* Начало координат обозначим  $O_0$  и назовем звездой. Строим единичную окружность и отмечаем на ней точку, изображающую комплексную переменную  $z$ , которую будем называть независимой планетой. На единичной окружности строим точки, изображающие угловые коэффициенты  $k_1, \dots, k_n$ . Вводим углы  $\varphi = \arg(z)$ ,  $\alpha_1 = \arg(k_1)$ ,  $\dots, \alpha_n = \arg(k_n)$ . Ползунками вводим радиусы орбит  $r_1, \dots, r_n$  и показатели вращений  $p_1, \dots, p_n$ .

СПУТНИКОВАЯ СИСТЕМА ПОРЯДКА 3

$$S((r_1 = 1.5, p_1 = 1, k_1 = 0.91 + 0.41i),$$

$$(r_2 = 1.7, p_2 = 2, k_2 = 0.45 + 0.89i),$$

$$(r_3 = 0.8, p_3 = 1, k_3 = -0.35 + 0.94i))$$



Определяющий полином

$$S = s(z) = r_1 k_1 z^{1+p_1} + r_2 k_2 z^{1+p_1+p_2} + r_3 k_3 z^{1+p_1+p_2+p_3} = \\ = (1.37 + 0.62i)z^2 + (0.06 + 1.7i)z^4 + (-0.76 - 0.26i)z^5$$

**Рис. 1.** Стоп-кадр анимационного изображения спутниковой системы

2. Начало построения спутниковой системы (построение первого спутника  $O_1$ ). Строим окружность с центром в точке  $O_0$  и радиусом  $r_1$ , получаем орбиту первого спутника. Строим луч  $O_0Z$  и отмечаем точку  $A_1$  пересечения луча и построенной орбиты. Поворачиваем точку  $A_1$  вокруг точки  $O_0$  на угол  $\alpha_1 + p_1\varphi$  и получаем точку, которая является первым спутником  $O_1$  (спутником звезды  $O_0$ ). Если  $n = 1$ , то построение закончено. В противном случае продолжаем построения.

3. Шаг построения (построение следующего спутника). Пусть уже построена круговая орбита и на ней спутник  $O_j$  для  $O_{j-1}$ . Строим орбиту следующего спутника  $O_{j+1}$  в виде окружности с центром в точке  $O_j$  и радиусом  $r_{j+1}$ . Строим луч  $O_{j-1}O_j$  и выделяем из него луч с началом в точке  $O_j$ , не содержащий точки  $O_{j-1}$ . Отмечаем точку  $A_{j+1}$  пересечения этого луча с построенной орбитой. Поворачиваем точку  $A_{j+1}$  вокруг точки  $O_j$  на угол  $\alpha_{j+1} + p_{j+1}\varphi$  и получаем  $j+1$ -й спутник  $O_{j+1}$ . Если  $j+1 = n$ , то построение закончено. Иначе выполняем очередной шаг построения. Построенная спутниковая система порядка  $n$  приходит в движение при анимации независимой планеты  $Z$  по единичной окружности.

Геометрический смысл показателя вращения  $p_j$  спутника  $O_j$  просматривается в повороте точки  $A_j$  на угол  $\alpha_i + p_i\varphi$ , приводящего к построению спутника  $O_j$  число  $p_j$  показывает количество оборотов спутника, совме-

щающих его с точкой  $A_j$ , за время одного оборота независимой планеты  $Z$  по своей орбите. Глядя на анимационный рисунок, можно подсчитать количество оборотов спутника  $O_j$  вокруг  $O_{j-1}$  за это же время и убедиться, что оно равно  $1 + p_1 + \dots + p_j$  – факт, который будет доказан ниже. В этом еще одно проявление геометрического смысла показателей вращения.

Для алгебраического описания спутниковой системы порядка  $n$  всякую точку  $(a, b)$  координатной плоскости будем трактовать как комплексное число  $a + bi$  и координатную плоскость называть комплексной плоскостью. Следующая теорема показывает вид алгебраической зависимости спутников как комплексных чисел от независимой планеты  $Z$  (независимой переменной).

Теорема 1. Пусть дана спутниковая система порядка  $n$  набором числовых параметров  $S((r_1, p_1, k_1), \dots, (r_n, p_n, k_n))$  и изображениями на плоскости звезды – точки  $O_0$  в начале координат, планеты  $Z$  – точки на единичной окружности и спутников  $O_1, \dots, O_n$ , построенных в соответствии с определением 2. Тогда для любого  $j = 1, \dots, n$

$$O_j = r_1 k_1 z^{1+p_1} + r_2 k_1 k_2 z^{1+p_1+p_2} + \dots + r_j k_1 \dots k_j z^{1+p_1+\dots+p_j},$$

причем когда планета  $Z$  совершает один оборот вокруг звезды  $O_0$ , спутник  $O_j$  делает  $q_j = 1 + p_1 + \dots + p_j$  оборотов вокруг  $O_{j-1}$ .

Доказательство. 1) На рисунке 1 видим, что  $|O_1| = r_1$  и по построению  $\arg O_1 = \varphi + \alpha_1 + p_1 \varphi$ . Следовательно,  $O_1 = r_1 k_1 z^{1+p_1}$ . Отсюда следует, что за один оборот точки  $Z$  по единичной окружности точка  $O_1$  совершает вокруг начала координат  $q_1 = 1 + p_1$  оборотов.

2) Рассматривая на рисунке 1 параллелограмм  $O_0 O_1 O_2 C_2$  и его вершины как комплексные числа, получаем  $O_2 = O_1 + C_2$ ,  $|C_2| = r_2$ . При параллельных  $O_1 O_2$  и  $O_0 C_2$  и секущей  $O_0 A_2$  отметим равенство углов  $\angle O_1 O_0 C_2 = \angle A_2 O_1 O_2$ , откуда

$$\begin{aligned} \arg C_2 &= \angle E O_0 O_1 + \angle O_1 O_0 C_2 = \\ &= \arg O_1 + \alpha_2 + p_2 \varphi = \varphi + \alpha_1 + p_1 \varphi + \alpha_2 + p_2 \varphi = \alpha_1 + \alpha_2 + (1 + p_1 + p_2) \varphi. \end{aligned}$$

Следовательно,  $C_2 = r_2 k_1 k_2 z^{1+p_1+p_2}$  и  $O_2 = r_1 k_1 z^{p_1+1} + r_2 k_1 k_2 z^{1+p_1+p_2}$ .

3) Пусть для  $j \geq 2$  доказано, что  $O_j = r_1 k_1 z^{1+p_1} + r_2 k_1 k_2 z^{1+p_1+p_2} + \dots + r_j k_1 \dots k_j z^{1+p_1+\dots+p_j}$  и в параллелограмме  $O_0 O_{j-1} O_j C_j$  вершина  $C_j$  как комплексное число выражается через  $Z$  равенством  $C_j = r_j k_1 \dots k_j z^{1+p_1+\dots+p_j}$ . Рассмотрим параллелограмм  $O_0 O_j O_{j+1} C_{j+1}$ . По построению,  $|C_{j+1}| = r_{j+1}$  и  $\arg C_{j+1} = \arg C_j + \alpha_{j+1} + p_{j+1} \varphi$ . Следовательно,

$$\arg C_{j+1} = \alpha_1 + \dots + \alpha_j + (1 + p_1 + \dots + p_j) \varphi + \alpha_{j+1} + p_{j+1} \varphi =$$

$$= \alpha_1 + \dots + \alpha_j + \alpha_{j+1} + (1 + p_1 + \dots + p_j + p_{j+1})\varphi$$

Отсюда  $C_{j+1} = r_{j+1}k_1 \dots k_{j+1}z^{p_{j+1} + \dots + p_{j+1}}$ . Остается заметить, что  $O_{j+1} = O_j + C_{j+1}$ . Из доказанной формулы для  $O_j$ , рассматривая параллелограмм  $O_0O_{j-1}O_jC_j$ , видим, что точка  $O_j$  совершает вокруг точки  $O_{j-1}$  столько же оборотов, сколько совершает точка  $C_j$  вокруг начала координат. Из формулы для  $C_j$  вытекает, что это число равно  $q_j = 1 + p_1 + \dots + p_j$ . Теорема доказана.

Например, на рисунке 1, рассматривая параллелограмм  $O_0O_2O_3C_3$ , видим, что по построению,  $|C_3| = r_3$  и  $\arg C_3 = \arg C_2 + \alpha_3 + p_3\varphi$ . Следовательно,  $\arg C_3 = \alpha_1 + \alpha_2 + (1 + p_1 + p_2)\varphi + \alpha_3 + p_3\varphi = \alpha_1 + \alpha_2 + \alpha_3 + (1 + p_1 + p_2 + p_3)\varphi$ , откуда  $C_3 = r_3k_1k_2k_3z^{1+p_1+p_2+p_3}$  и  $O_3 = O_2 + C_3 = r_1k_1z^{1+p_1} + r_2k_1k_2z^{1+p_1+p_2} + r_3k_1k_2k_3z^{1+p_1+p_2+p_3}$ .

На рисунке 1 одновременно представлен определяющий полином спутниковой системы в смысле следующего определения.

Определение 3. Пусть спутниковая система порядка  $n$  дана набором ее числовых параметров  $S((r_1, p_1, k_1), \dots, (r_n, p_n, k_n))$ . Полином

$$s(z) = r_1k_1z^{p_1+1} + r_2k_1k_2z^{p_2+p_1+1} + \dots + r_nk_1\dots k_nz^{p_n+\dots+p_1+1}$$

назовем *определяющим полиномом* данной спутниковой системы.

На анимационном рисунке 1 видим, что последний спутник  $O_3$  совпадает с точкой  $S = s(z)$  при  $|z| = 1$ , что подтверждает теорему 1.

Непосредственно из определения 3 вытекает, что последний спутник спутниковой системы порядка  $n$ , оставляя след, вычерчивает кривую, которая является образом единичной окружности при действии на комплексной плоскости определяющего многочлена. Обращаясь к статьям (Larin & Mayer, 2018), (Larin, 2019), можно установить, что эта кривая является улиткой Паскаля порядка  $n$ .

## 2. Построение спутниковой системы порядка $n$ по полиному

Докажем теорему, которая высвечивает путь построения спутниковой системы порядка  $n$  по данному полиному.

Теорема 2. Пусть дан полином с ненулевыми комплексными коэффициентами от комплексной переменной  $s(z) = a_1z^{q_1} + \dots + a_nz^{q_n}$ , где  $0 < q_1 < \dots < q_n$ ,  $|z| = 1$ . Построим единичную окружность и точку  $z$  на ней. Построим точки  $S_0 = 0$ ,  $S_j = a_1z^{q_1} + \dots + a_jz^{q_j}$  для  $j = 1, \dots, n$ . Тогда последовательность точек  $S_0, S_1, \dots, S_n$  является спутниковой системой порядка  $n$ , заданной набором числовых параметров  $S((r_1, p_1, k_1), \dots, (r_n, p_n, k_n))$ , где  $r_j = |a_j|$ ,  $q_0 = 1$ ,  $p_j = q_j - q_{j-1}$ ,  $k_j = \frac{a_j |a_{j-1}|}{|a_j| |a_{j-1}|}$ , причем данный полином является для нее определяющим.

Доказательство. Рассматривая равенство полиномов  $s(z) = a_1 z^{q_1} + \dots + a_n z^{q_n} = r_1 k_1 z^{1+p_1} + r_2 k_1 k_2 z^{1+p_1+p_2} + \dots + r_n k_1 \dots k_n z^{1+p_1+\dots+p_n}$ , получаем формулы, указанные в формулировке теоремы. Строим по найденному набору числовых параметров спутниковую систему в соответствии с определением 2 и убеждаемся, что в соответствии с определением 3 данный полином является определяющим для построенной спутниковой системы. Теорема доказана.

Спутниковая система порядка 4  
по полиному  $w(z) = a_1 z^{q_1} + a_2 z^{q_2} + a_3 z^{q_3} + a_4 z^{q_4} =$   
 $= (1.46 + 1.08i)z^1 + (-1.76 + 1.96i)z^2 + (-2.36 - 1.42i)z^3 + (1.18 - 2.32i)z^5$

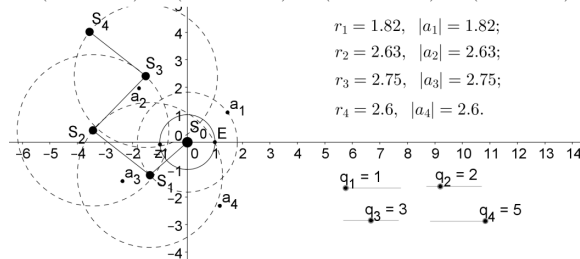


Рис. 2. Построение спутниковой системы по полиному

Теоремы 1 и 2 говорят о том, что спутниковые системы являются анимационно-геометрическими моделями полиномов при условии, что модуль переменной равен 1.

Приведем простой и естественный способ построения спутниковой системы по полиному: строим каждый его одночлен и получаем совокупность точек на концентрических окружностях. Затем последовательно складываем эти точки по правилу параллелограмма (рис. 3).

Спутниковая система порядка 4  
по полиному  $w(z) = a_1 z^{q_1} + a_2 z^{q_2} + a_3 z^{q_3} + a_4 z^{q_4} =$   
 $= (1.33 + 1.21i)z^1 + (-1.76 + 1.96i)z^2 + (-2.62 - 2.63i)z^3 + (0.95 - 1.95i)z^5$

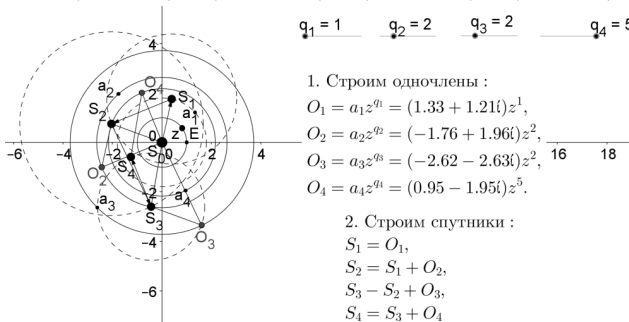


Рис. 3. Второй способ построения спутниковой системы по полиному

Определим *спутниковую систему порядка*  $(n_1, \dots, n_m)$ , как совокупность спутниковых систем порядка  $n_j$  для  $j = 1, \dots, m$  с общей звездой. Алгебраически она описывается совокупностью определяющих многочленов составляющих ее спутниковых систем порядков  $n_j$ . На рисунке 4 изображена спутниковая система порядка (3,2), которая представляет собой объединение спутниковой системы порядка 3, состоящей из спутников  $O_1, O_2, O_3$ , и спутниковой системы порядка 2, состоящей из спутников  $O_1, O_4$  с общей звездой  $O_0$ . Эта спутниковая система задается совокупностью двух определяющих полиномов  $s(z) = r_1 k_1 z^{1+p_1} + r_2 k_1 k_2 z^{1+p_1+p_2} + r_3 k_1 k_2 k_3 z^{1+p_1+p_2+p_3}$  и  $w(z) = r_1 k_1 z^{1+p_1} + r_4 k_1 k_4 z^{1+p_1+p_4}$ .

Приведем пример построения спутниковой системы порядка (3,2) (рис. 4).

1. Построение исходных данных. Строим начало координат (звезду)  $(0, 0)$ , единичную окружность и точку  $z$  на ней. На единичной окружности строим точки (комплексные числа)  $k_1, k_2, k_3, k_4$ . Ползунками вводим параметры  $r_1, r_2, r_3, r_4$  (радиусы орбит) и  $p_1, p_2, p_3, p_4$  (показатели вращений).

2. Построение спутников. Строкой ввода строим точки (комплексные числа)  $O_1 = r_1 k_1 z^{1+p_1}$ ,  $O_2 = O_1 + r_2 k_1 k_2 z^{1+p_1+p_2}$ ,  $O_3 = O_2 + r_3 k_1 k_2 k_3 z^{1+p_1+p_2+p_3}$ ,  $O_4 = O_1 + r_4 k_1 k_4 z^{1+p_1+p_4}$ .

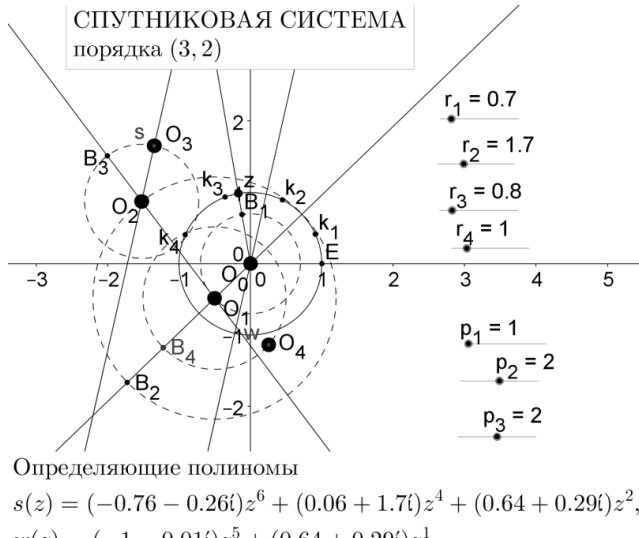


Рис. 4. Стоп-кадр анимационного изображения объединения двух спутниковых систем

При анимации точки  $z$  спутниковая система приходит в движение.

### 3. Спутниковая система в пространстве

Для алгебраического описания спутниковых систем в пространстве нам понадобятся кватернионы и связанные с ними понятия векторного умножения и скалярного умножения векторов.

Всякий кватернион (Математическая Энциклопедия, 1977, т. 2, с. 838) записывается в виде  $ai + bj + ck + d$ , где  $a, b, c, d$  – действительные числа,  $i, j, k$  называются мнимыми единицами и по определению удовлетворяют условию  $i^2 = j^2 = k^2 = (ijk)^2 = -1$ . Число  $d$  называется скалярной (или действительной) частью, а  $ai + bj + ck$  векторной (или мнимой) частью кватерниона. Если  $d = 0$ , то кватернион будем называть векторным (или вектором) и обозначать без стрелки. Кватернионы ввел английский математик Гамильтон (W.R. Hamilton, 1806 – 1868) в работе 1843 г. (Hamilton, 1853), (Hance, 1867).

В соответствии с (Математическая Энциклопедия, 1977, т. 1, с. 634 – 635), векторное произведение векторов  $\vec{a}$  и  $\vec{b}$  обозначается  $[\vec{a}, \vec{b}]$  или  $\vec{a} \times \vec{b}$ , а скалярное произведение  $(\vec{a}, \vec{b})$ . Поскольку векторные кватернионы договариваемся писать без стрелок, то для них будем использовать обозначения соответственно  $[a, b]$ ,  $a \times b$ ,  $(a, b)$ . Геометрически векторные кватернионы складываются по правилу параллелограмма. Чтобы умножить один кватернион на другой, нужно раскрыть скобки, перемножить мнимые единицы, сохраняя порядок их следования, и привести подобные. Мнимые единицы умножаются по правилам:  $ij = k$ ,  $ji = -k$ ;  $jk = i$ ,  $kj = -i$ ;  $ki = j$ ,  $ik = -j$ . Пользуясь этими правилами, для векторных кватернионов (векторов)  $h = ai + bj + ck$ ,  $h_1 = a_1i + b_1j + c_1k$  имеем  $hh_1 = (bc_1 - b_1c)i + (a_1c - ac_1)j + (ab_1 - a_1b)k - aa_1 - bb_1 - cc_1 = [h, h_1] - (h, h_1)$ . Видим, что произведение векторных кватернионов есть снова векторный кватернион тогда и только тогда, когда их скалярное произведение равно нулю, то есть перемножаемые векторы перпендикулярны. Сами понятия векторное произведение и скалярное произведение векторов вошли в математику именно из теории кватернионов.

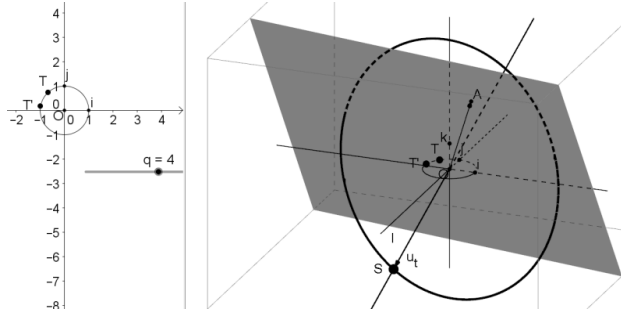
С этим багажом знаний перейдем к построению спутниковой системы в пространстве и ее алгебраическому описанию. Как и в случае спутниковой системы на плоскости, опишем построение спутниковой системы порядка  $n$  в пространстве и описание построения примем за конструктивное определение. На рисунке 5 изображено построение лишь одного спутника. Этого достаточно, чтобы построить любое количество спутников самостоятельно.

Построение спутниковой системы порядка  $n$  в пространстве.

Пусть даны ненулевые векторные кватернионы  $\{a_1, \dots, a_n\}$  (аналоги коэффициентов многочлена, задающего спутниковую систему на плоскости) и

даны натуральные числа  $\{q_1, \dots, q_n\}$  (показатели степеней комплексной переменной).

1. Построение исходных данных. Строим данную систему векторных кватернионов  $\{a_1, \dots, a_n\}$  в виде точек пространства (по их координатам) и ползунками вводим показатели степеней переменной  $\{q_1, \dots, q_n\}$ . На рисунке 5 данный кватернион изображен точкой  $A$ , показатель степени  $q$  введен ползунком.



**Рис. 5.** Построение спутника в пространстве

2. Строим единичную сферу и единичные векторы осей координат  $i$ ,  $j$ ,  $k$  (на рисунке 5 сфера сделана невидимой, чтобы не заслонять главного).

Для каждого  $t = 1, \dots, n$  выполняем следующие построения.

3. Координатную плоскость  $\langle i, j \rangle$  будем рассматривать как комплексную плоскость с действительной осью абсцисс, содержащей вектор  $i$ , и мнимой осью ординат, содержащей вектор  $j$ . На этой плоскости строим единичную окружность и точку  $T = z$  на ней (на рисунке 5 слева). Рассматривая  $z$  как комплексную переменную, находим угол  $\varphi = \arg(z)$  и строим точку  $T' = z^{q_t}$  с аргументом  $\alpha_t = q_t \varphi$ . При анимации точки  $z$  за время ее полного оборота по единичной окружности в координатной плоскости  $\langle i, j \rangle$  точка  $T' = z^{q_t}$  совершит по ней  $q_t$  оборотов.

4. Если  $a_t \in \langle i, j \rangle$ , то обозначим  $u_t = [a_t | k, z^t]$ . Если же  $A = a_t \notin \langle i, j \rangle$  (рис. 5), то строим плоскость  $\pi_t = \langle a_t, z^{q_t} \rangle$  по точкам  $O$ ,  $a_t$ ,  $z^{q_t}$ , прямую  $l$ , проходящую через точку  $O$  перпендикулярно плоскости  $\pi_t$ , и сферу с центром в точке  $O$ , проходящую через точку  $A = a_t$ . Из двух точек пересечения прямой  $l$  со сферой выбираем точку  $u_t$  так, чтобы обход точек  $a_t$ ,  $z^{q_t}$ ,  $u_t$  в указанном порядке был таким же, как обход по единичным точкам  $i, j, k$  (против часовой стрелки). Вектор  $u_t$  является нормальным вектором плоскости  $\pi_t$ .

Для алгебраического осмыслиения вектора  $u_t$  переводим построения на алгебраический язык. Записываем уравнение плоско-

сти  $\pi_t$  по точкам  $O = (0,0,0)$ ,  $T = z^{q_t} = (\cos(q_t\varphi), \sin(q_t\varphi), 0)$ ,  $A = a_t = (a, b, c)$  (на рисунке 5  $A = a_t = (2, -3, 4)$ ). Уравнение имеет вид  $-c \sin(q_t\varphi) \cdot x + c \cos(q_t\varphi) \cdot y + (a \sin(q_t\varphi) - b \cos(q_t\varphi)) \cdot z = 0$ . Следовательно, нормальный вектор плоскости  $\pi_t$  равен  $u_t = (-c \sin(q_t\varphi), c \cos(q_t\varphi), a \sin(q_t\varphi) - b \cos(q_t\varphi)) = [a_t, z^{q_t}]$ . Для проверки на рисунке 5 строим точку  $S = (-c \sin(q_t\varphi), c \cos(q_t\varphi), a \sin(q_t\varphi) - b \cos(q_t\varphi))$  и убеждаемся, что она совпадает с точкой  $u_t$ , построенной выше.

Обозначая значком  $\times$  операцию нахождения векторного произведения двух векторных кватернионов, в первом случае получаем  $u_t = [|a_t|k, z^{q_t}] = a_t |k \times z^{q_t}|$ , а во втором  $u_t = [a_t, z^{q_t}] = a_t \times z^{q_t}$ . В общем случае  $u_t = b_t \times z^{q_t}$ , где

$$b_t = \begin{cases} |a_t|k, & \text{если } a_t \in \langle i, j \rangle, \\ a_t, & \text{если } a_t \notin \langle i, j \rangle. \end{cases}$$

5. Строим последовательно точки  $S_0 = O$ ,  $S_1 = u_1$ ,  $S_2 = S_1 + u_2$ , ...,  $S_n = S_{n-1} + u_n$  и получаем искомую пространственную систему спутников  $\{S_1, \dots, S_n\}$  со звездой  $O$ . При анимации точки  $T = z$  за время ее полного оборота по единичной окружности в соответствующей координатной плоскости точка  $S_t$  совершил  $q_t$  оборотов по круговой орбите радиуса  $|a_t|$  вокруг  $S_{t-1}$ .

Алгебраическое выражение  $S_t = b_1 \times z^{q_1} + \dots + b_t \times z^{q_t}$  имеет вид полинома от комплексной переменной  $z$  при условии  $|z| = 1$  с коэффициентами, которые представляют собой векторные кватернионы. Вместе с тем, спутниковые системы в пространстве можно рассматривать как анимационно-геометрические модели указанных полиномов.

**Заключение.** В чисто математическом отношении представленный материал является началом исследований спутниковых систем как анимационно-геометрических моделей полиномов, открывающий новые проблемы и перспективы, и следующая подготовленная к печати статья автора посвящена вопросам анимационно-геометрического моделирования полиномов в области кватернионов в виде спутниковых систем в пространстве. С методической точки зрения представленная в статье целесообразность использования анимационных рисунков в обучении математике как технологическая часть цифровизации образования демонстрируется в подготовленном автором к печати учебном пособии по тригонометрии 10 класса. Основное понятие тригонометрии – числовая окружность демонстрируется на анимационном рисунке в виде наматывания числовой прямой на

окружность. Анимационно-геометрическая модель этого процесса ложится в основу анимационного вычерчивания графиков тригонометрических функций. Анимационными рисунками сопровождается изложение всего учебного материала по тригонометрии. Альбом анимационных рисунков к учебному пособию размещен по указанному ниже адресу<sup>1)</sup>. Автор уверен, что в недалеком будущем анимационные рисунки войдут в арсенал средств обучения так же естественно, как ныне используются мел и шариковая ручка.

## ПРИМЕЧАНИЯ

1. <https://www.geogebra.org/m/nsn4h2sx>

## ЛИТЕРАТУРА

- Ларин, С. (2015). *Компьютерная анимация в среде GeoGebra на уроках математики*. Ростов-на-Дону: «Легион».
- Ларин, С. (2018). *Методика обучения математике. Компьютерная анимация в среде GeoGebra*. Москва: «Юрайт».
- Ларин, С. (2019). Алгебраическое описание улиток Паскаля порядка  $n$ . *Математика и информатика*. Volume 62, Number 5, 550 – 559.
- Математическая Энциклопедия (1977). Москва: «Советская энциклопедия».

## REFERENCES

- Larin, S. V. (2015). *Computer animation in GeoGebra platform in mathematics classes*. Rostov-na-Donu: Legion.
- Larin, S. V. (2018). *Mathematics training. Computer animation in the GeoGebra environment*. Moscow: Jright.
- Larin, S. & Mayer, V. (2018). The Role of computer animation in mathematics teaching. *Mathematics and Informatics*, Volume 61, Number 6, 542 – 552.
- Larin, S. (2019). Algebraic description of Pascal's snails order  $n$ . *Mathematics and Informatics*. Volume 62, Number 5, 550 – 559.] *Mathematical Encyclopedia* (1977). Moscow: “Soviet Encyclopedia”.
- Hamilton, W. R. (1853). *Lectures on quaternions*. Dublin.
- Hanel, H. (1867). *Theory der complexen Zahlensysteme*. Leipzig (Voss).

## SATELLITE SYSTEMS AS ANIMATION-GEOMETRIC POLYNOMIAL MODELS

**Abstract.** The article gives an animation-geometric representation of polynomials on the complex plane, provided that the module of the complex variable is 1, in the form of satellite systems. A similar representation in the form of spatial satellite systems is given for polynomials in a complex variable, whose coefficients are vector quaternions (their scalar part is zero). The effectiveness and feasibility of using animated drawings as a means of modern didactics in teaching mathematics is presented.

*Keywords:* animation figures; GeoGebra; satellite system; complex numbers; quaternions; polynoms

✉ **Prof. Sergey Larin, DSc.**

ORCID ID: 0000-0002-5900-3463

Scopus ID: 56250614800

School of Mathematics, Physics and Computer Technology

Krasnoyarsk State Pedagogical University

Krasnoyarsk, Russia

E-mail: larin\_serg@mail.ru